

МЕТОДИКА

frontal cortex in the monkey. In: cortex and behavior, New York, 1965.

ation performance and unit activity in the monkey. Brain Res., 1965, 1, 5—610.

of cat pallidal neurons to cortical areas. Brain Res., 1965, 1, 372.

stantia nigra on the catecholamines in the monkey. Brain Res., 1965, 1, 372.

M. Brazier). Am. Institute Biol. System — dissociation of its activation — alternation test performance within the frontal lobes of the monkey. Brain Res., 1965, 1, 372.

ed by forebrain stimulation in the monkey. J. Physiol., 1965, 174, 339.

afferent volleys in lenticular nucleus. J. de Physiol., 1965, 174, 339.

s in the monkey. Exptl. Neurol., 1965, 174, 339.

nucleus in the rhesus monkey. J. de Physiol., 1965, 174, 339.

of the central nervous system. J. Physiol., 1965, 174, 339.

rebral cortex motor and inhibitory functions. J. Physiol., 1965, 174, 339.

Effect of subcortical lesions on the monkey. J. Physiol., 1965, 174, 339.

onapses in cat with bilateral caudate nucleus. J. Physiol., 1965, 174, 339.

Striaren System. J. f. Psychol., 1960, 115, 75—87.

nd destination of fibers arising from the striatal area. Arch. Ital. Biologia, 1960, 115, 75—87.

atomy and physiology of the corpus callosum. J. Physiol., 1960, 115, 75—87.

connexions of posterior orbital cortex. J. Physiol., 1960, 115, 75—87.

Надійшла до редакції
4.IV 1975 р.

УДК 578.089.78:612.8.014.421

І. Б. Большунов, М. Я. Волошин

КЕРЮЧИЙ ПРИСТРІЙ ДО ЕЛЕКТРОФІЗІОЛОГІЧНОЇ УСТАНОВКИ

Відомо, що методичні можливості експерименту багато в чому зумовлюються апаратурою, використаною в досліді.

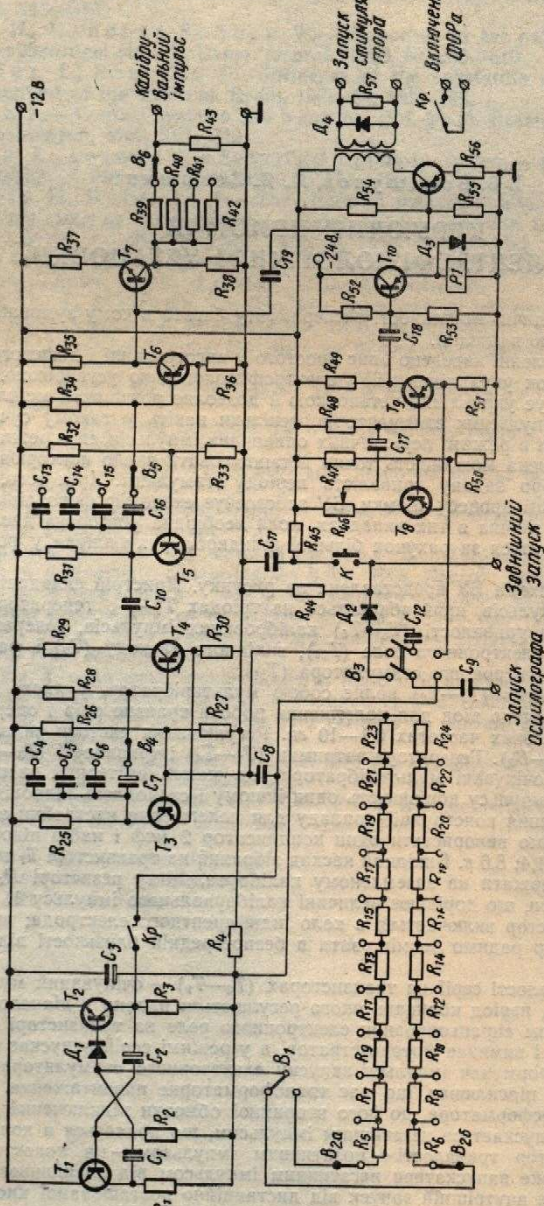
В цьому повідомленні наведено опис простого у виготовленні і дешевого пристроя, який являє собою блок управління (БУ) електрофізіологічною установкою. Схема, що пропонується, полегшує управління установкою й дозволяє розширити можливості більшості електронних імпульсних стимуляторів, оскільки навіть у такому сучасному стимуляторі, як ЕСУ-1, ні в режимі періодичних одиничних імпульсів, ні в режимі періодичних серій не передбачена можливість точно встановлювати число повторювань обраної програми, тобто суворо задану тривалість періоду стимуляції. Крім того, за рахунок часткової автоматизації процесу зйомки, БУ забезпечує економію фотоплівки. Економія фотоплівки особливо значна в тих випадках, коли необхідна розгорта досліджуваного процесу в часі досягається за рахунок більшої швидкості руху плівки у фотогрееструючому пристрії.

Принципіальна схема БУ представлена на рисунку. Пристрій складається із задаючого генератора імпульсів, який збирається на тріодах T_1-T_2 , генератора затримки (T_3-T_4) і генератора тривалості (T_5-T_6) калібруваних імпульсів, генератора тривалості серій (T_8-T_9), електронного реле (T_{10}), вихідного каскаду (T_7) і формувача імпульсу запуску для електронного стимулятора (T_{11}).

Задаючий генератор (T_1-T_2) являє собою мультивібратор, у якого в коло бази транзистора T_2 підключено діод для полегшення роботи транзисторів і одержання стабільності генерації на низьких частотах 0,1—10 Гц. Регулювання частоти заданого генератора ступінчасте (B_1-B_2). Генератори затримки (T_3-T_4) і тривалості (T_5-T_6) калібрувальних імпульсів — очікувані мультивібратори, що мають емітерний зв'язок. Час затримки і тривалості імпульсу дорівнюють одній іншому і становлять відповідно 5, 10, 20, 50 мс. В разі повторення конструкції приладу для полегшення настройки замість набору ємностей ми радимо використати один конденсатор 2 мкФ і набір підстроювальних резисторів 0,24; 0,75; 1,4; 5,6 к. Вихідний каскад зібраний на транзисторі T_7 типу $p-n-p$, що дало можливість одержати на заземленому калібрувальному резисторі R_{43} величиною 10 м Ω падіння напруги, що дорівнює величині калібрувального імпульсу 1, 5, 10, 20 мв. Калібрувальний резистор включається в коло індиферентного електрода; щоб уникнути наводок, цей резистор радимо розміщувати в безпосередній близькості від об'єкта дослідження.

Генератор тривалості серій на транзисторах (T_8-T_9) — очікуваний мультивібратор з емітерним зв'язком, період коливань якого регулюється плавно у діапазоні 1—10 сек. Генератор керує часом спрацьування електронного реле на транзисторі T_{10} . Це реле в свою чергу вмікає і вимикає фотогреестратор, а у режимі серій запускає задаючий генератор пристрію. Формувач імпульсу запуску електронного стимулятора на транзисторі T_{11} — звичайний підсилювач, що має трансформаторне навантаження. Шоб не допустити пробою трансформатора, до його вторинної обмотки підключений опір R_{57} . Генератор затримки запускається негативним імпульсом, що подається в коло бази транзистора T_3 , а генератор тривалості — позитивним імпульсом — на колекторі транзистора T_5 . Прилад може запускатися негативним імпульсом від зовнішнього джерела з $U \geq 2$ в, а також має внутрішній запуск від дистанційно розташованої кнопки.

Пристрій живиться стабілізованою напругою 12÷24 в. Під час замикання кнопки дистанційного управління БУ відбувається така послідовність подій: запускається розгорта осцилографа, на екрані якого виникає калібрувальний прямокутний імпульс встановленої тривалості і амплітуди, потім запускається електронний стимулятор, що працює в «очікуваному» режимі. Цей цикл може виникнути одноразово (при цьому перемикач B_3 знаходиться в положенні «одиничний», яке вказане на рисунку) і може



Принципова схема керуючого пристроя для електрофізіологічної установки.

$R_1, R_{38} = 1,5 \text{ кОм}$; $R_2 = 68 \text{ кОм}$; $R_3, R_{41} = 2,7 \text{ кОм}$; $R_4, R_{56} = 510 \text{ ом}$; $R_5 = 1,15 \text{ мОм}$; $R_6 = 102 \text{ кОм}$; $R_7 = 410 \text{ кОм}$; $R_8, R_{15}, R_{17}, R_{21} = 39 \text{ кОм}$; $R_9, R_{34} = 180 \text{ кОм}$; $R_{10} = 21 \text{ кОм}$; $R_{11} = 110 \text{ кОм}$; $R_{12}, R_{45}, R_{67} = 10 \text{ кОм}$; $R_{13} = 109 \text{ кОм}$; $R_{14} = 8 \text{ кОм}$; $R_{15} = 5,1 \text{ кОм}$; $R_{16} = 24 \text{ кОм}$; $R_{17} = 3,9 \text{ кОм}$; $R_{18} = 30 \text{ кОм}$; $R_{19} = 31 \text{ кОм}$; $R_{20} = 200 \text{ кОм}$; $R_{21} = 2,2 \text{ кОм}$; $R_{22} = 39 \text{ кОм}$; $R_{23} = 47 \text{ кОм}$; $R_{24} = 49 \text{ кОм}$; $R_{25} = 8,2 \text{ кОм}$; $R_{26} = 1,7 \text{ кОм}$; $R_{27} = 200 \text{ кОм}$; $R_{28} = 23 \text{ кОм}$; $R_{29} = 20 \text{ кОм}$; $R_{30} = 29 \text{ кОм}$; $R_{31} = 60 \text{ кОм}$; $R_{32} = 49 \text{ кОм}$; $R_{33} = 130 \text{ кОм}$; $R_{34} = 10 \text{ кОм}$; $R_{35} = 29 \text{ кОм}$; $R_{36} = 47 \text{ кОм}$; $R_{37} = 300 \text{ ом}$; $R_{38} = 5,6 \text{ кОм}$; $R_{39} = 27 \text{ кОм}$; $R_{40} = 4,3 \text{ кОм}$; $R_{41} = 1,2 \text{ кОм}$; $R_{42} = 1,6 \text{ кОм}$; $R_{43} = 0,5 \text{ мкФ}$; $C_1 = 1,0 \text{ мкФ}$; $C_2 = 50 \text{ мкФ}$; $C_3, C_8, C_9 = 0,5 \text{ мкФ}$; $C_4, C_5, C_6, C_7 = 3,25 \text{ мкФ}$; $C_10, C_11 = 4,1 \text{ мкФ}$; $C_12 = 1000 \text{ пФ}$; $C_13 = 5,0 \text{ мкФ}$; $C_14 = 0,25 \text{ мкФ}$; $C_15 = 500,0 \text{ пФ}$; $C_16 = 10 \text{ ПФ}$; $T_1 = T_2 = T_3 = T_4 = T_5 = T_6 = T_7 = T_8 = T_9 = \text{MT38}$; $A_1 = A_2 = A_3 = A_4 = \text{D220}$; $D_1 = D_2 = D_3 = D_4 = \text{D95}$; $K = \text{ПРЕС-9}$; $R = \text{мікровимикач KM-1}$.

Метод оцінки рухової активності

повторюватися автоматично з будь-якою частотою. Зйомка досліджуваного процесу і закінчується автоматично в момент вимикання.

Відділ фізіології кори головного мозку Інституту фізіології ім. О. О. Богомольця АН УРСР, Київ

УДК 612.82.7

МЕТОД ОЦІНКИ РУХОВОЇ АКТИВНОСТІ

Рухова активність під час сну [5], що рухова активність з різних захворюваннях серцево-судинної системи відрізняється значне посилення рухової активності під час сну з порушенням сну.

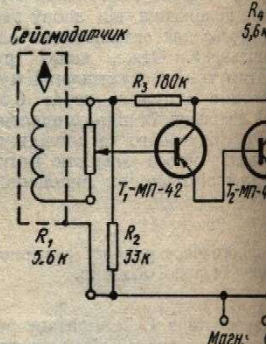


Рис. 1. Принципальна схема

Одним з методів вивчення рухової активності описаних актографів [1–4] є метод, який полягає у пересуванні реєструючого грамафону, що дозволяє одержувати даний метод визначили час рухової активності.

У зв'язку з тим, що час рухової активності може бути вимірюваний за допомогою методу оцінки характеру рухової активності.

9 — Фізіологічний журнал, № 1.